

## ساخت و به کارگیری غشای سه جزئی CuBTC/graphene oxide/PSF جهت جداسازی گاز هیدروژن

احمد توسلی<sup>\*</sup>، علیرضا عزیزی<sup>۲</sup>، رافعه اکبرشاهی<sup>۳</sup>، مهشید وقارموسوی<sup>۴</sup>

<sup>۱</sup> استاد تمام شیمی کاربردی، دانشکده شیمی، پردیس علوم، دانشگاه تهران، تهران، ایران

<sup>۲</sup> دانشآموخته کارشناسی ارشد شیمی کاربردی، دانشکده شیمی، پردیس علوم، دانشگاه تهران، تهران، ایران

<sup>۳</sup> دانشآموخته کارشناسی ارشد نانو شیمی، دانشکده شیمی، پردیس علوم، دانشگاه تهران، تهران، ایران

<sup>۴</sup> دانشجوی کارشناسی ارشد مهندسی شیمی، دانشکده فنی، پردیس کاسپین، دانشگاه تهران، رضوانشهر، ایران

نوع مقاله: ترویجی

دریافت: ۱۳۹۹/۰۸/۲۸  
پذیرش: ۱۴۰۰/۰۱/۳۰

### چکیده

چارچوب‌های آلی فلزی (MOF) با خواصی شگفت‌انگیز توجه زیادی را جهت کاربردهای مختلف به‌ویژه جذب و جداسازی گاز برانگیخته است. در این راستا، ساخت هیبریدهای MOF با مواد مبتنی بر کربن، استراتژی جدیدی برای ارتقای عملکرد MOF است. در این مطالعه کامپوزیت CuBTC (مس بنزن-۱،۳-۵ تری کربوکسیلیک اسید)/اکسید گرافن (GO) سنتز شد و با تکنیک‌های BET، FESEM، XRD و FT-IR آنالیز شد. سپس کامپوزیت CuBTC/GO در پلیمر پلی سولفون (PSF) جهت ساخت غشاهای ماتریس مخلوط (MMMs) ادغام شد. غشاهای بودست‌آمده با آزمون‌های XRD و FT-IR و FESEM بررسی شدند و نفوذ‌پذیری گازی آن‌ها اندازه‌گیری شد. مشخص گردید که کامپوزیت GO به عنوان پرکننده عملکرد مطلوبی را از خود نشان می‌دهد. به عنوان مثال، بارگیری ۱۵ درصد وزنی PSF در CuBTC/GO نشان‌دهنده انتخاب‌پذیری بالای ۸۰/۰۳ و ۷۰/۴۶ به ترتیب برای  $H_2/CH_4$  و  $H_2/N_2$  هستند.

**کلمات کلیدی:** غشای ماتریس مخلوط (MMMs)، پلی‌سولفون، جداسازی گاز، هیدروژن، کامپوزیت GO

## مقدمه

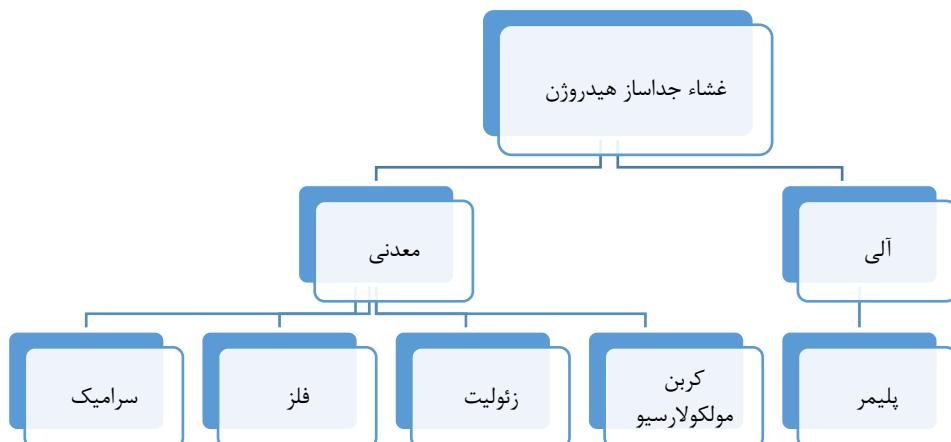
در سال‌های اخیر، به هیدروژن به عنوان جایگزینی برای منابع فسیلی توجه زیادی شده است، زیرا هنگامی که از آن در یک پیل سوختی یا موتور احتراق داخلی استفاده شود، درنتیجه یک انرژی عاری از آلودگی همراه با آب (به عنوان محصول جانبی) تولید می‌شود. در آینده نزدیک، با توسعه فناوری پیل سوختی و استفاده از هیدروژن در پیل‌های سوختی، تقاضای هیدروژن افزایش زیادی خواهد یافت [۱]. در حال حاضر، هیدروژن به طور عمده از منابع فسیلی و توسط ریفورمینگ گاز طبیعی با بخارآب تولید می‌شود.

بنابراین جداسازی هیدروژن از گاز سنتز از اهمیت به سزایی برخوردار است. روش‌های مختلفی برای جداسازی هیدروژن از گاز سنتز توسعه داده شده، وجود دارد که می‌توان از جذب آمین (جهت حذف دی‌اکسید کربن)، جذب نوسانی تحت فشار و جداسازی غشائی نام برد [۲]. ولی انتظار می‌رود که در آینده روش‌های غشائی نقش مهم‌تری در صنایع ایفا کنند، زیرا هزینه سرمایه‌گذاری و مصرف انرژی آن‌ها پایین‌تر است. از دیگر مزایای فرایندهای غشائی نسبت به فرایندهای معمول، حذف تجهیزات تبادل حرارتی و شکل ایمن‌تر و تمیزتر عملیات غشائی است [۳ و ۴]. از دهه ۱۹۶۰ فرایندهای جداسازی غشائی، کاربردهای صنعتی یافته‌ند و برخی از آن‌ها مانند جداسازی گازها توسط غشا، عمر کم‌تری حدود ۲۵ سال دارند. در خلال این دوره زمانی، این فرایندها کاربردهای متنوعی در صنایع یافته‌اند و رشد چشم‌گیری در بازار فروش به دست آورده‌اند. به عنوان مثال، متوسط رشد سالیانه بازار فروش فرایندهای غشائی در فاصله زمانی سال‌های ۱۹۹۷ تا ۲۰۰۱ در آمریکا، ۸٪ بوده است. این روند آینده روشی را برای فرایندهای این فناوری نوید می‌دهد که دلیل آن وجود مزایای ویژه فرایندهای این فناوری در مقایسه با سایر روش‌های کلاسیک نظیر جذب با حلal، جذب سطحی، فرایندهای تقطیر برودتی و ... است.

عمده‌ترین مزایای فرایندهای غشائی را می‌توان در موارد زیر خلاصه نمود:

- مصرف انرژی کم‌تر برای انجام جداسازی
- امکان انجام عملیات جداسازی در دمای محیط
- سهولت دستیابی به کلیه فازهای جداسازی شده
- انجام عملیات جداسازی توسط تجهیزاتی با وزن و حجم کم
- نصب و عملیات ساده
- حداقل نیاز به کنترل، بازرگانی، تعمیر و نگهداری

فرایندهای غشائی پس از فرایندهای جذب نوسانی تحت فشار و تقطیر برودتی، به عنوان پرکاربردترین روش‌های جداسازی و خالص‌سازی هیدروژن، در رتبه سوم قرار می‌گیرند.



شکل ۱- انواع غشاهای جداساز هیدروژن [۵]

امروزه از غشاهای پلیمری برای جداسازی گاز در فرایندهای صنعتی استفاده می‌شود. در صنعت از این غشاهای برای جداسازی گاز هیدروژن از مخلوط گازی شامل کربن مونوکسید، نیتروژن و هیدروکربن‌ها استفاده می‌شود [۶]. غشاهای پلیمری از نوع غشاهای بی‌تخلخل هستند و به دو دسته شیشه‌ای و لاستیکی تقسیم می‌شوند. غشای پلیمری شیشه‌ای دارای گزینش‌پذیری بالا و شار پایین است؛ در حالی‌که گونه لاستیکی آن دارای شار بالا و گزینش‌پذیری پایین است.

غشاهای پلیمری از مکانیسم انحلال-نفوذ جهت جداسازی بهره می‌برند.  
مزایا:

- قیمت کم
- توانایی بالا در مواجهه با قطرات با فشار بالا

معایب:

- قدرت مکانیکی کم
- حساسیت بالا به تورم و تراکم
- مسمومیت توسط هیدروژن کلرید، دی‌اکسید کربن و ترکیبات گوگرددار

در برخی از منابع دمای مناسب برای غشاهای پلیمری به طور تقریبی ۳۷۳ کلوین گزارش شده است [۷]. از جمله فواید استفاده از غشاهای پلیمری در ساخت غشاهای جداسازی گازی، هزینه سرمایه‌گذاری پایین، فرآیند ساخت آسان، پایداری مناسب در فشارهای بالا (به خصوص در مورد غشاهای پلیمری شبکه‌ای شده)، مصرف انرژی کم‌تر در مقایسه با سایر روش‌های جداسازی، مقاومت مکانیکی مناسب و امکان ساخت غشا در مقیاس‌های بزرگ را می‌توان نام برد؛ اما عامل مهمی که مانع از توسعه غشاهای پلیمری در کاربردهای جداسازی گازی شده است، وجود عدم تناسب بین عبور و گزینش‌پذیری در این غشاهای است. این مسئله نخستین بار در سال ۱۹۹۱ توسط روبسن نشان داده شده است، بدین صورت که با افزایش در انتخاب‌پذیری غشا در غشاهای پلیمری، میزان عبور کاهش می‌گردد و بالعکس.

### جدول ۱- نفوذپذیری و انتخابگری هیدروژن در غشاها پلیمری

پلیمر	نفوذپذیری (Barrer <sup>۱</sup> )	انتخاب‌پذیری		
		H <sub>2</sub> /N <sub>2</sub>	H <sub>2</sub> /CH <sub>4</sub>	H <sub>2</sub> /CO <sub>2</sub>
پلی‌سولفون	۱۲/۱	۱۵/۱	۳۰/۳	۲/۰
پلی‌استایرن	۲۳/۸	۳۹/۷	۲۹/۸	۲/۳
پلی‌متیل‌متاکریلات	۲/۴	۲/۰	۴/۰	۴/۰
پلی‌وینیل‌دین‌فلوراید	۲/۴	۳/۴	۱/۸	۲/۰

<sup>۱</sup>Barrer =  $10^{-10} \text{ cm}^3 (\text{STP}) \text{ cm} / (\text{cm}^2 \text{ s cmHg})$  where STP= standard temperature and pressure.

غشاها معدنی از جمله سرامیکی، کربنی و فلزی، در مقایسه با غشاها پلیمری خالص، عبور و انتخاب‌پذیری بالایی دارند و مشکل عدم تناسب بین این دو عامل در این غشاها وجود ندارد و عملکرد آن‌ها در بالای حد روبسن قرار دارد؛ ضمن این‌که این غشاها پایداری شیمیایی و حرارتی بسیار خوبی دارند؛ اما با وجود این مزايا، غشاها معدنی ضعف‌هایی از جمله پیچیده بودن در ساخت آن‌ها، پایین بودن تکرار‌پذیری خواص غشا در هر مرتبه از تولید آن، مقاومت مکانیکی پایین به‌طوری‌که با ایجاد کوچک‌ترین ترکی امکان شکسته شدن غشا به‌شدت افزایش می‌یابد و غشا کارایی خود را از دست می‌دهد و بالا بودن قیمت آن، دارند.

حال با در نظر گرفتن معایب و مزايا هر دو نوع غشاها پلیمری و معدنی، اگر از هر دوی این مواد برای ساخت غشا استفاده گردد، غشای ماتریس مخلوط تولید می‌شود. غشای ماتریس مخلوط، غشای پلیمری است که ذرات پرکننده معدنی در آن به‌طور یکنواخت پراکنده شده‌اند.

در این پژوهش جداسازی گاز هیدروژن در مقایسه با گازهای دیگر مانند دی‌اکسید کربن، نیتروژن و متان با استفاده از سیستم غشائی ماتریس مخلوط بر پایه پلی‌سولفون بررسی می‌شود. پرکننده‌ای که در پلی‌سولفون استفاده می‌شود، کامپوزیت CuBTC@GO است. بدیهی است که غشاها زمانی که با پرکننده‌های CuBTC یا جاسازی می‌شوند، سفت می‌شوند [۸]. مواد و غشاها ساخته شده با استفاده از روش‌های شناسایی (XRD, FT-IR, FESEM, BET) نیز مورد تجزیه و تحلیل ساختاری قرار می‌گیرند. هر گاز به صورت جداگانه گزینش‌پذیری و نفوذپذیری گاز هیدروژن را با استفاده از غشا نام برده در فرآیند مربوطه بررسی کرده و سپس کارایی غشا را در جداسازی گاز هیدروژن از مخلوط گازها مورد بررسی قرار می‌دهیم.

## ۲- روش تحقیق

### ۲-۱- تهیه پرکننده و غشاها

#### ۲-۱-۱- تهیه کامپوزیت CuBTC@GO

درون یک بالن ۵۰ میلی‌لیتری ۲ گرم مس استات‌آبدار و ۱ گرم بنزن تری‌کربوکسیلیک‌اسید ریخته می‌شود، سپس ۲۴ میلی‌لیتر مخلوط آب و اتانول (با نسبت برابر) به بالن اضافه می‌شود. محصول حاصل به مدت ۳۰ دقیقه به‌وسیله همزن مغناطیسی هم‌زده می‌شود. سپس محلول درون اتوکلاو قرار داده شده و سپس اتوکلاو درون کوره دارای دمای ۱۱۰ درجه سانتی‌گراد قرار داده می‌شود و به مدت ۱۵ ساعت در همان شرایط نگه داشته می‌شود. بعد از پایان زمان انجام واکنش اتوکلاو تا دمای محیط سرد شده، سپس رسوب آبی‌رنگ تشکیل شده به‌وسیله سانتریفیوژ جمع می‌شود.



بهمنظر خارج کردن مواد اولیه واکنش نداده از محصول، رسوب چندین بار با مخلوط اتانول و آب شسته شده، در حین شستن نمونه به مدت ۲۰ دقیقه درون حمام اولتراسونیک قرار داده می‌شود. سپس رسوب را به مدت دو روز در متابولیزه کرده و طی این دو روز سه یا چهار بار متابولیزه آن تعویض می‌شود. در پایان رسوب حاصل در دمای ۱۱۰ درجه سانتی‌گراد تحت خلاً به مدت ۴۸ ساعت خشک می‌شود و سپس درون دسیکاتور نگه‌داری می‌شود [۹].

#### ۲-۱-۲- تهیه غشای خالص

در ابتدا پلیمر مورد نظر درون آون خلاً که دارای دمای ۱۰۰ درجه سانتی‌گراد است طی ۱۲ ساعت خشک می‌شود تا هرگونه رطوبت از آن زدوده گردد. برای تهیه غشای خالص حدود ۵/۰ گرم از پلیمر پلی‌سولفون درون ۵ میلی‌لیتر دی‌متیل‌استامید حل کرده تا غلظت مشخصی از پلیمر به دست آید. برای حل شدن کامل معمولاً ۱۲ ساعت زمان نیاز است. پس از حل شدن کامل، محلول شفافی به دست می‌آید که برای خارج کردن حباب‌های موجود در آن به مدت ۱۲ ساعت تحت خلاً در دمای محیط بدون اینکه هم‌زدہ شود نگه داشته می‌شود. محلول پلیمری شفاف درون پتیریدیش با اندازه مشخص ریخته شده، سپس پتیریدیش‌ها درون آون با دمای ۶۰ درجه قرار داده می‌شوند و به مدت ۱۲ ساعت در این حالت نگه داشته می‌شوند. هنگامی که غشاها خشک شدن دمای آون تا ۱۰۰ درجه سانتی‌گراد بالا برده می‌شود و به مدت ۱۲ ساعت در این حالت نگه داشته می‌شوند. در انتها بهمنظر خارج کردن کامل حلال درون غشاها، غشاها درون آون خلاً که دارای دمای ۱۳۰ درجه است قرار داده شده و به مدت ۱۲ ساعت در این حالت نگه داشته می‌شوند.

#### ۲-۱-۳- تهیه غشای ماتریس مختلط

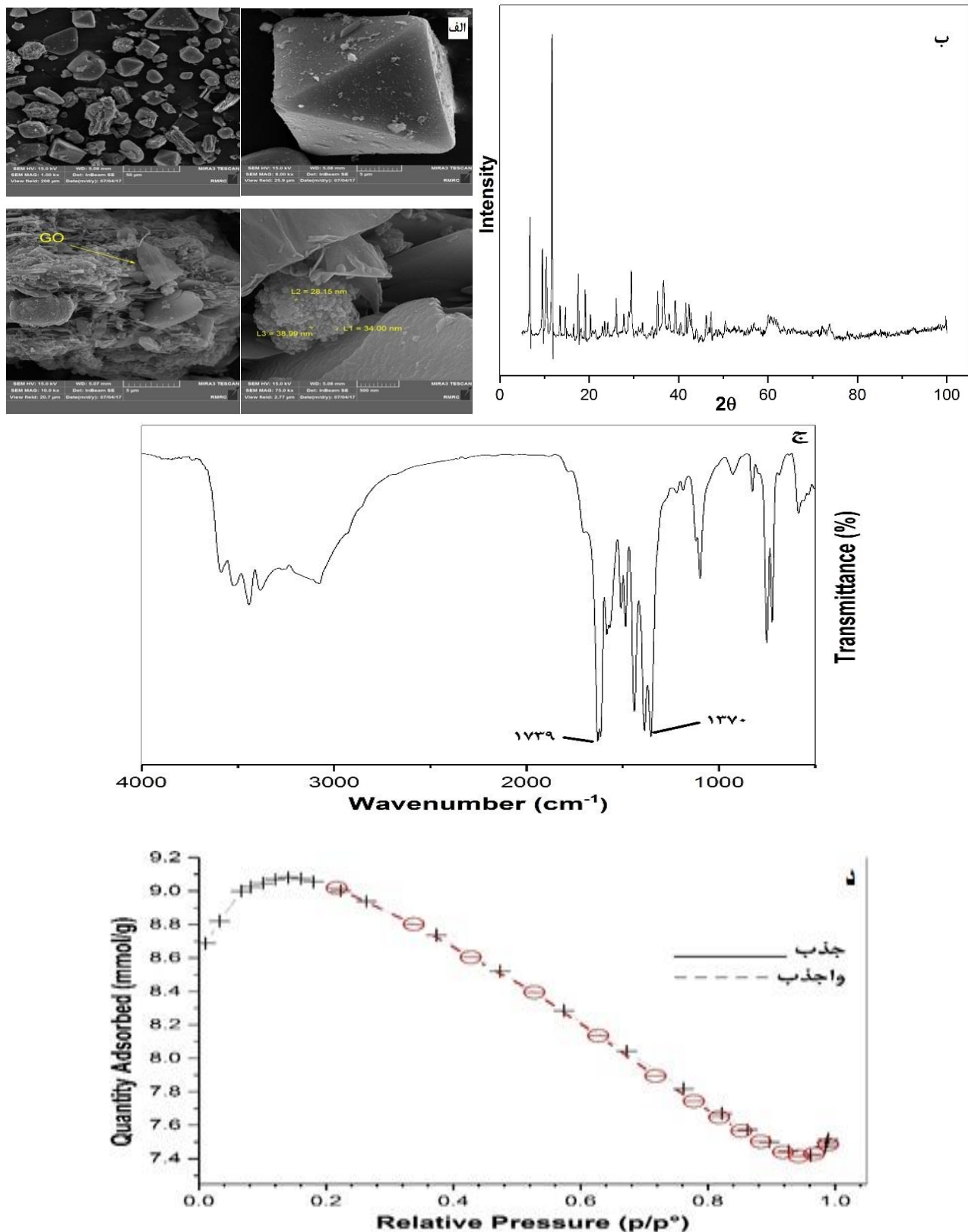
برای تهیه غشاها ماتریس مختلط مقدار مشخصی از ذرات (۵، ۱۰ و ۱۵ درصد وزنی) درون ۵ میلی‌لیتر دی‌متیل‌استامید ریخته شده سپس محلول به دست آمده به مدت یک شب به‌وسیله همزن مغناطیسی هم‌زدہ می‌شود. بهمنظر پخش کردن کامل ذرات درون حلال، نمونه‌ها به مدت یک ساعت درون حمام اولتراسونیک قرار داده می‌شوند. پس از پخش شدن کامل ذرات درون حلال، حدود ۱۰٪ از پلیمر به محلول سوسپانسیون ذرات اضافه می‌شود. به این روش آسترکاری گفته می‌شود، این تکنیک علاوه بر این که مانع از تجمع ذرات درون ماتریس پلیمری می‌شود، منجر به ایجاد برهمنکش بهتری میان دو فاز نیز می‌گردد. محلول به مدت چند ساعت هم‌زدہ شده سپس به مدت ۱۵ دقیقه درون حمام اولتراسونیک قرار داده می‌شود. سپس باقی‌مانده پلیمر به سوسپانسیون اضافه می‌شود. پس از اضافه کردن پلیمر، محلول به مدت یک شب به‌وسیله همزن مغناطیسی هم‌زدہ شده، سپس به مدت ۱۵ دقیقه دیگر نیز درون حمام اولتراسونیک قرار داده می‌شود، بهمنظر خارج کردن حباب‌های موجود درون محلول نمونه‌ها به مدت ۱۲ ساعت بدون هم‌زدن تحت خلاً قرار داده می‌شوند. محلول پلیمری درون پتیریدیش ریخته شده و در آون با دمای ۶۰ درجه به مدت یک شب نگه داشته می‌شود، سپس دمای آون تا ۱۰۰ درجه بالا برده شده و به مدت ۱۲ ساعت دیگر در این حالت نگه داشته می‌شود. بهمنظر خروج کامل حلال غشاها تهیه شده به مدت یک شب درون آون خلاً در دمای ۱۳۰ درجه سانتی‌گراد قرار داده می‌شوند. میزان درصد ذرات با استفاده از رابطه ۱ برای تهیه غشاها محاسبه می‌گردد.

$$Fillerloading = \left[ \frac{wt . Filler}{wt . Filler + wt . polymer} \right] \times 100 \quad (1)$$

### ۳- نتایج و بحث

#### ۳-۱- شناسایی کامپوزیت CuBTC@GO

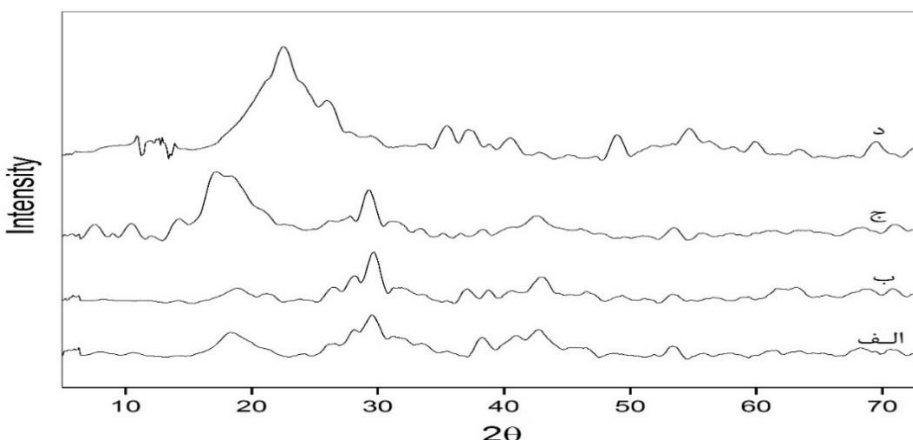
در شکل ۲ طیف‌های FT-IR و XRD، نمودار TGA، ایزوترم جذب-واجدب نیتروژن و تصاویر FESEM مربوط به ترکیب CuBTC@GO نشان داده شده است. در طیف FT-IR این ترکیب، پیک‌های مربوط به اکسیدگرافن به این صورت است که پیک ظاهر شده در  $1739\text{ cm}^{-1}$  مربوط به ارتعاش کششی O=C، C=O است [۱۰]. اکسید گرافن از اکسیداسیون دانه‌های کششی C=C و  $1370\text{ cm}^{-1}$  مربوط به ارتعاش کششی C-O است [۱۱]. اکسید گرافن از اکسیداسیون دانه‌های گرافیت تولید شده و بر اساس آخرین مقاله منتشر شده از طریق روش هامر اصلاح شده است [۱۲]. CuBTC نیز سیگنال‌هایی در  $3392\text{ cm}^{-1}$  نشان می‌دهد که مربوط به ارتعاش کششی O-H گروه کربوکسیلیک یا OH- که از مولکول‌های آب جذب شده، است. پیک ظاهر شده در  $2980\text{ cm}^{-1}$  مربوط به ارتعاش کششی C-H از حلقه آромاتیک است. همچنین پیک‌های ظاهر شده در  $1730\text{ cm}^{-1}$  و  $1455\text{ cm}^{-1}$  به ترتیب مربوط به ارتعاش کششی نامتقارن و متقارن گروه کربوکسیلات است. پیک ظاهر شده در  $110\text{ cm}^{-1}$  نیز مربوط به ارتعاش لرزشی C-O-Cu در CuBTC@GO نشان می‌دهد که پیک‌های مربوط به اکسیدگرافن برای کامپوزیت مشاهده نشده است [۱۳] و [۱۰] که این هم به علت پراکندگی بالا در تهیه کامپوزیت است [۱۴]؛ ولی پیک‌های مربوط به ترکیب CuBTC در  $11/7$ ،  $13/8$ ،  $18/5$ ،  $9/4$ ،  $6/5 = 2\theta$  مشاهده می‌شود. ایزوترم جذب-واجدب نیتروژن مربوط به ترکیب CuBTC@GO نشان از یک سطح ویژه نسبتاً بالا برای CuBTC@GO ( $651\text{ m}^2/\text{g}$ ) دارد. همچنین به طرز شگفت‌انگیزی کامپوزیتها دارای حجم منافذ بیشتری از CuBTC هستند. فرض بر این است که شکل‌گیری و رشد CuBTC از طریق پیوند شیمیایی، بیشتر از سطح اکسیدگرافن موجب تشکیل حفره‌های کوچک می‌شود که برای جذب مولکول‌های کوچک مفید است [۱۵]. تصاویر حاصل از میکروسکوپ الکترونی، ساختار بلوری هشت‌وجهی این ترکیب را نشان می‌دهد. بر اساس این تصاویر، اندازه ذرات CuBTC@GO کمتر از  $15\text{ }\mu\text{m}$  تخمین زده می‌شود.



شكل ۲- تصاویر FESEM، ب) الگوی XRD، ج) طیف FT-IR و د) ایزوترم جذبی نیتروژن مربوط به کامپوزیت CuBTC@GO

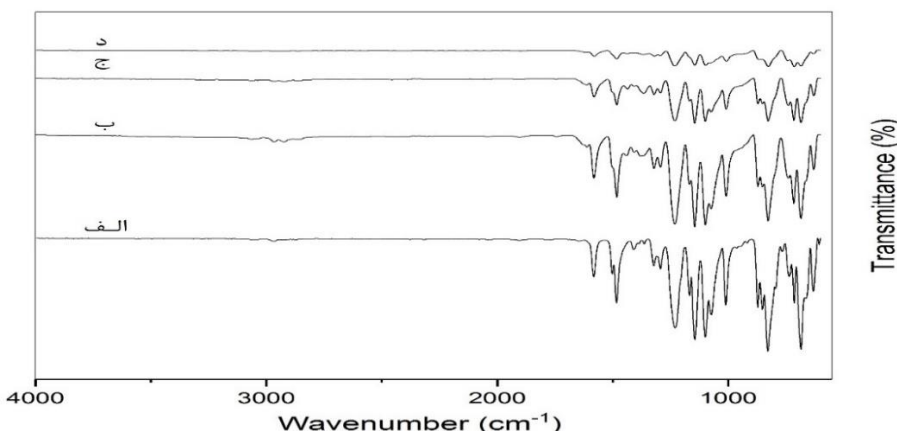
### ۲-۳- شناسایی خواص غشاها ماتریس مختلط تهیه شده از پلی‌سولفون و CuBTC@GO

طیف‌های XRD مربوط به غشاها تهیه شده در شکل ۳ نشان داده شده است. آنچه از طیف‌های به دست آمده نتیجه می‌شود این است که وجود کامپوزیت CuBTC@GO تغییری در ساختار بلوری پلیمر ایجاد نمی‌کند و تنها شدت برخی پیک‌ها را افزایش می‌دهد. پیک‌های مربوط به ساختار بلوری CuBTC در طیف غشاها ماتریس مختلط ( $2\theta = 11/8$ ،  $13/8$ ،  $11/7$ ) حضور دارند. همچنین پیک مربوط به اکسیدگرافن در  $2\theta = 11/8$  در طیف غشاها حاوی کامپوزیت CuBTC@GO نیز دیده نمی‌شود [۱۳] و [۱۰] که این هم به علت پراکندگی بالا در تهیه کامپوزیت است [۱۴].



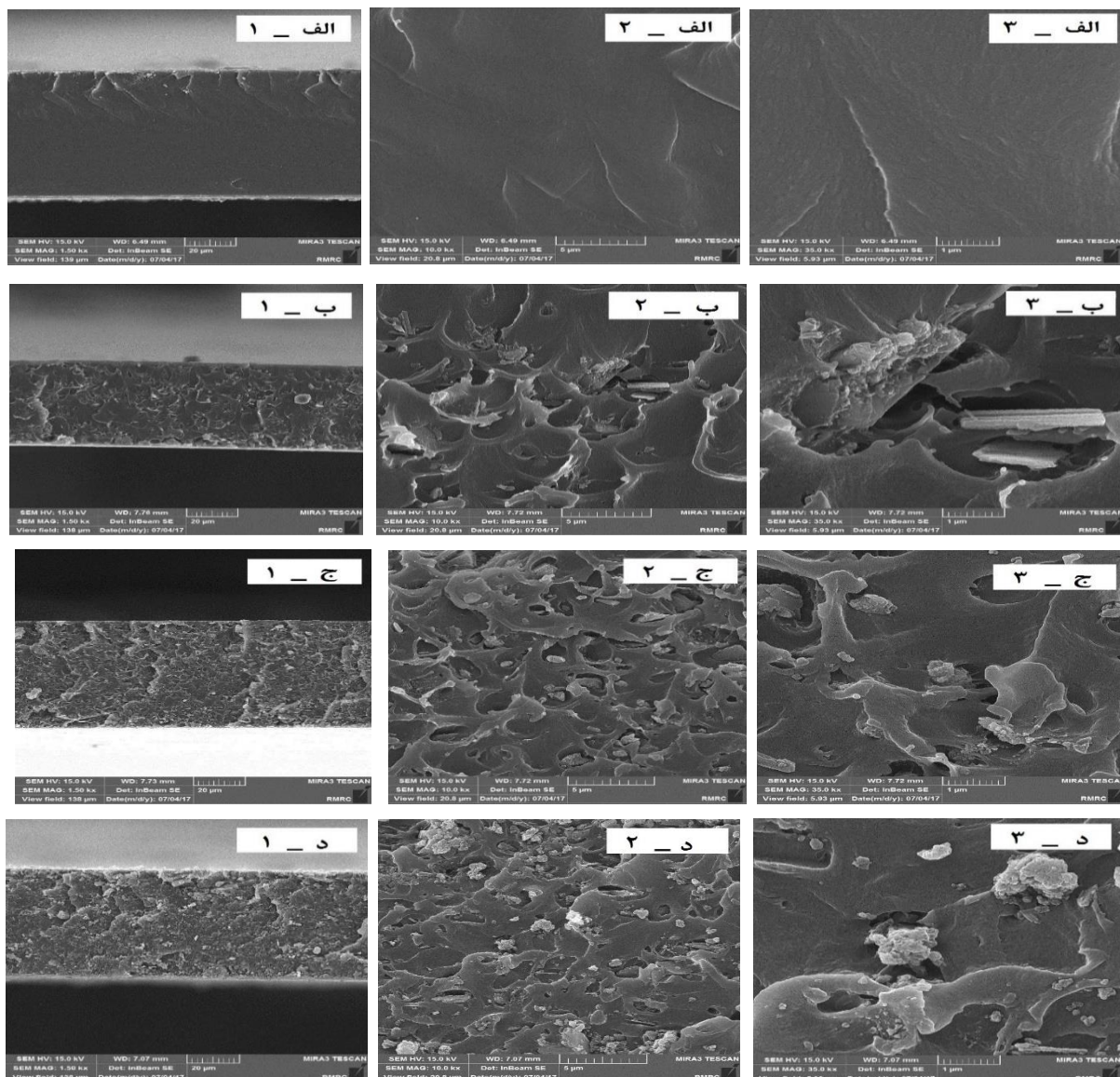
شکل ۳- طیف XRD مربوط به (الف) پلی‌سولفون خالص، (ب) PSU/CuBTC@GO ۵٪، (ج) PSU/CuBTC@GO ۱۰٪ و (د) PSU/CuBTC@GO ۱۵٪

همچنین طیف‌های FT-IR مربوط به غشاها تهیه شده با پلی‌سولفون و کامپوزیت CuBTC@GO در شکل ۴ نمایش داده شده است [۱۶]. پیک‌های مربوط به حلقه بنزن و هیدروکسیل موجود در پلی‌سولفون و ساختار کامپوزیت در طیف مربوط به غشاها ماتریس مختلط با تغییراتی در مقایسه با پلی‌سولفون و CuBTC@GO خالص دیده می‌شوند. پیک مربوط به حلقه بنزن موجود در پلی‌سولفون از  $1585\text{ cm}^{-1}$  به  $1570\text{ cm}^{-1}$  در غشا ماتریس مختلط رسیده است و همچنین پیک مربوط به گروه هیدروکسیل مربوط به GO که در ناحیه  $3700\text{ cm}^{-1}$  قرار دارد در غشاها ماتریس مختلط حذف شده است.



شکل ۴- طیف FT-IR مربوط به (الف) پلی‌سولفون خالص، (ب) PSU/CuBTC@GO ۵٪، (ج) PSU/CuBTC@GO ۱۰٪ و (د) PSU/CuBTC@GO ۱۵٪

غشاها ماتریس مختلط حاوی پلی‌سولفون و CuBTC@GO با درصد های ۵، ۱۰ و ۱۵٪ وزنی ساخته شده‌اند. غشاها حاوی ۲۰٪ وزنی و بیشتر برای CuBTC@GO مقاومت مکانیکی کافی برای قرارگیری در ماژول دستگاه اندازه‌گیری نداشتند. تصاویر FESEM تهیه شده از سطح مقطع غشای ۱۰٪ وزنی از CuBTC@GO، مورفولوژی آن را به خوبی نشان می‌دهد (شکل ۵). برهم‌کنش قوی میان پلیمر و کامپوزیت منجر به ایجاد بخش‌های گودالی شکل که مرز آن‌ها به‌وسیله رگه‌های پلیمری از یکدیگر جدا شده است، می‌شود. این مورفولوژی به علت تنش‌های بین سطحی ایجاد شده در حین شکستن غشا در نیتروژن مایع به وجود می‌آید [۱۷]. در این تصاویر هیچ حفره‌ای در فاز بین سطحی پلیمر/کامپوزیت قابل‌شناسایی نیست. این چسبندگی عالی بین دو فاز را می‌توان به وجود لیگندهای آلی به کار رفته در ساخت کامپوزیت نسبت داد. از طرفی دیگر برقراری برهم‌کنش میان گروه عاملی‌های موجود در این لیگندهای آلی و گروه سولفور پلی‌سولفون عامل مهمی در ایجاد چسبندگی بین دو فاز است. علاوه بر نحوه برهم‌کنش، توزیع نسبتاً یکنواخت ذرات در ماتریس پلیمری از تصاویر FESEM قابل‌برداشت است.



شکل ۵- تصاویر FESEM مربوط به غشاها (الف) پلی‌سولفون خالص، (ب) PSU/CuBTC@GO ۵٪، (ج) PSU/CuBTC@GO ۱۰٪، (د) PSU/CuBTC@GO ۱۵٪، با بزرگنمایی (۱) پایین و (۳) بالا.

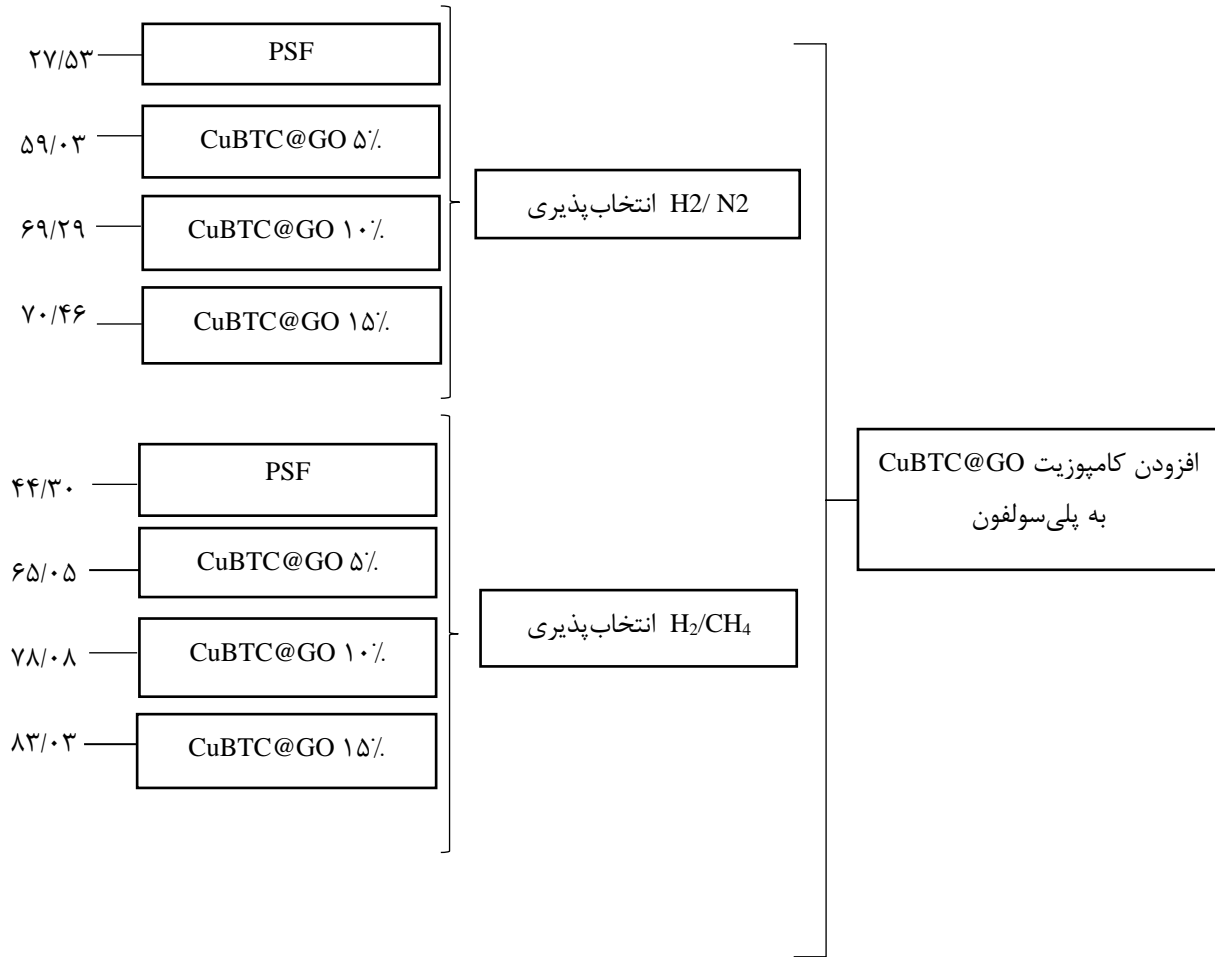
**۳-۳- نتایج عملکرد جداسازی گازی غشاها** تهیه شده از پلی‌سولفون و پرکننده‌های ساخته شده با نگاهی بر اطلاعات جدول ۲ معلوم می‌شود که حضور کامپوزیت CuBTC@GO در ماتریس پلی‌سولفون، عبور و انتخاب‌پذیری غشا را به طور هنگفتی افزایش می‌دهد. طبق مطالعات قبلی [۱۸ و ۱۹] استفاده از هر کدام از پرکننده‌ها به طور مجزا در ماتریس پلی‌سولفون، عملکرد جداسازی متفاوتی با زمانی که هر دو نوع پرکننده با هم استفاده شوند، ارائه می‌دهند. وقتی CuBTC به‌نهایی برای ساخت غشای ماتریس مختلط به کار می‌رود، عبور و انتخاب‌پذیری غشا، هر دو افزایش می‌یابد؛ اما درصد افزایش عبور نسبت به انتخاب‌پذیری بیشتر است. زمانی که اکسید‌گرافن به‌نهایی به کار می‌رود، عبور غشا کاهش می‌یابد و انتخاب‌پذیری زیاد می‌شود. افزایش در انتخاب‌پذیری حتی نسبت به زمانی که CuBTC به‌نهایی استفاده می‌شود نیز بیشتر است؛ بنابراین CuBTC و اکسید‌گرافن پرکننده‌هایی هستند که به ترتیب بسیار بر عبور و انتخاب‌پذیری غشا تأثیر می‌گذارند. بدین سبب انتظار می‌رود وقتی از کامپوزیت CuBTC@GO در غشا استفاده می‌شود، نه تنها عملکرد جداسازی نسبت به غشای خالص بلکه نسبت به غشاها حاوی هر کدام از پرکننده‌ها نیز ارتقا یابد. در جدول ۲ نتایج نشان داده شده است. بهترین عبور و گزینش‌پذیری که با اختلاط کامپوزیت CuBTC@GO با ۱۵٪ وزنی در پلی‌سولفون به دست می‌آید؛ بدین صورت است که مقدار عبور پذیری ۲۹/۴۵۴، ۱۰/۱۶۷، ۰/۳۶۸ و ۰/۴۱۸ درصد به ترتیب برای گازهای هیدروژن، دی‌اکسید کربن، نیتروژن و متان و نیز مقادیر ۲۷/۶۲، ۲۴/۳۲، ۰/۴۶ و ۰/۴۰۳ درصد در انتخاب‌پذیری CO<sub>2</sub>/N<sub>2</sub>, CO<sub>2</sub>/CH<sub>4</sub> و H<sub>2</sub>/N<sub>2</sub> و H<sub>2</sub>/CH<sub>4</sub> را نشان می‌دهد. در دو ترکیب درصد دیگر نیز عبور و انتخاب‌پذیری افزایش بسیار خوبی نسبت به پلی‌سولفون خالص نشان می‌دهند. با توجه به عملکرد خوب جداسازی می‌توان گفت که استفاده از این نوع پرکننده روش بسیار مناسبی برای تبدیل پلی‌سولفون به یک غشای جداسازی گازی است. این روش به خصوص برای جداسازی گازهای هیدروژن و دی‌اکسید کربن بسیار اثرگذار است.

جدول ۲- نتایج عبور گازی غشاها

غشا	عبور (Barrer)				انتخاب‌پذیری			
	H <sub>2</sub>	CO <sub>2</sub>	N <sub>2</sub>	CH <sub>4</sub>	CO <sub>2</sub> /N <sub>2</sub>	CO <sub>2</sub> /CH <sub>4</sub>	H <sub>2</sub> /N <sub>2</sub>	H <sub>2</sub> /CH <sub>4</sub>
PSU	۹/۸۰۲	۶/۴۰۳	۰/۳۵۶	۰/۳۲۲	۱۷/۹۹	۱۹/۸۹	۲۷/۵۳	۳۰/۴۴
PSU/CuBTC@GO ۵٪	۲۱/۴۶۶	۸/۱۰۳	۰/۳۶۲	۰/۳۳۰	۲۲/۳۸	۲۴/۵۵	۵۹/۳۰	۶۵/۰۵
PSU/CuBTC@GO ۱۰٪	۲۵/۲۲۰	۸/۷۰۳	۰/۳۶۴	۰/۳۲۳	۲۳/۹۱	۲۶/۹۴	۶۹/۲۹	۷۸/۰۸
PSU/CuBTC@GO ۱۵٪	۲۹/۴۵۴	۱۰/۱۶۷	۰/۴۱۸	۰/۳۶۸	۲۴/۳۲	۲۷/۶۲	۷۰/۴۶	۸۰/۰۳

در شکل ۶ خلاصه‌ای از آنچه در این پژوهش برای ارتقای عملکرد جداسازی گازی پلی‌سولفون انجام شده، نشان می‌دهد. اعداد نوشته شده در این شکل، مقادیر انتخاب‌پذیری گازها را به ترتیب افزایش پرکننده نشان می‌دهد. همچنین با توجه به شکنندگی بسیار بالای غشاها (حاوی پرکننده بیش از ۱۵٪ وزنی)، آن‌ها در ۳ درصد وزنی ۵، ۱۰ و ۱۵٪ وزنی ساخته و مقایسه شدند؛ بنابراین ساخت غشای ماتریس مختلط راهی بسیار مؤثر جهت غلبه بر ضعف‌های غشاها پلیمری و معدنی است. همان‌طور که در این پژوهش بیان شد، با استفاده از کامپوزیت

CuBTC@GO در ماتریس پلی‌سولفون، غشایی مؤثر جهت جداسازی هیدروژن به دست می‌آید؛ ولی باید توجه داشت، چنانچه بتوان در ساخت این نوع از غشاهای ماتریس مختلط به تکرارپذیری مناسب رسید، می‌توان از آن به عنوان مرحله‌ای برای خالص‌سازی هیدروژن استفاده نمود.



شکل ۶- خلاصه‌ای از فرایندهای انجام شده برای بهبود عملکرد جداسازی گازی پلی‌سولفون در این پروژه

#### ۴- نتیجه‌گیری

کامپوزیت CuBTC/GO تهیه و برای ساخت MMMs با PSF مورد استفاده قرار گرفت. غشاهای ساخته شده برای کاربرد جداسازی گاز هیدروژن آنالیز و ارزیابی شدند. افزایش چشم‌گیر نفوذپذیری و گزینش‌پذیری گاز هیدروژن با استفاده از کامپوزیت CuBTC/GO به عنوان پرکننده در PSF ثبت شد. بر اساس نتایج حاصل، نفوذپذیری برای همه گازها در مقایسه با PSF خالص، افزایش یافته و بیشترین نفوذپذیری مربوط به بارگذاری ۱۵ درصد وزنی MMMs در CuBTC/GO بوده است. وجود CuBTC با ساختار بسیار متخلخل در MMMs منجر به افزایش نفوذپذیری زیادی شده است. اعداد گزارش شده مقادیر قابل توجهی بالاتر در هر دو مشخصه نفوذپذیری و گزینش‌پذیری برای MMMs حاوی CuBTC/GO نسبت به PSF خالص نشان می‌دهد؛ بنابراین کامپوزیت‌های MOF با مواد مبتنی بر کربن می‌توانند یک استراتژی مؤثر امیدوارکننده جهت غلبه بر کمبودی باشند که ممکن است در MOFs با آن مواجه بودند. مطمئناً تحقیقات بیشتری در این زمینه موردنیاز خواهد بود.

## ۵- تشکر و قدردانی

این پژوهش حاصل از پایان‌نامه «ساخت و به کارگیری غشای پلی سولفون ارتقا یافته با نانوبلورهای CuBTC پراکنده شده در اکسید گرافن در جداسازی گاز هیدروژن» است و با حمایت شرکت ملی پخش فرآورده‌های نفتی ایران اجرا شده است.

## ۶- منابع

- [1] Campen, A., Mondal, K., Wiltowski, T., Separation of hydrogen from syngas using a regenerative system. *International Journal of Hydrogen Energy*, 33, 2008, pp.332 – 339.
- [2] Lu, G.Q., Diniz da Costa, J.C., Duke, M., Giessler, S., Socolow, R., Williams, R.H., Kreutz, T., Inorganic membranes for hydrogen production and purification: A critical review and perspective. *Journal of Colloid and Interface Science*, 314, 2007, pp. 589–603.
- [3] Sridhar, S., Khan, A.A., Simulation studies for the separation of propylene and propane by ethylcellulose membrane. *Journal of Membrane Science*, 159, 1999, pp. 209-219.
- [4] Tiscornia, I., Irusta, S., Téllez , C., Coronas, J., Santamaria , J., Separation of propylene/propane mixtures by titanosilicate ETS-10 membranes prepared in one-step seeded hydrothermal synthesis. *Journal of Membrane Science*, 311, 2008, pp. 326–335.
- [5] Burns, R.L., Koros, W.J., Defining the challenges for C3H6/C3H8 separation using polymeric membranes. *Journal of Membrane Science*, 211, 2003, pp. 299–309.
- [6] Kluiters, S. C. A. Status reView on membrane systems for hydrogen separation; Energy Center of The Netherlands: Petten, The Netherlands, 2004.
- [7] Ogden, J. M. Prospects for building a hydrogen energy infrastructure; Center for Energy and Environmental Studies, Princeton University: Princeton, NJ, 1999.
- [8] Feijani EA, Tavasoli A, Mahdavi H. Improving gas separation performance of poly (vinylidene fluoride) based mixed matrix membranes containing Metal\_Organic frameworks by chemical modification. *Ind Eng Chem Res* 2015; 54:12124e34.
- [9] V. Jabbari, J. M. Veleta, and D. Villagrán, “Green Synthesis of Magnetic MOF@GO and MOF@CNT Hybrid Nanocomposites with High Adsorption Capacity towards Organic Pollutants”, *Chem. Eng. J.*, 2016.
- [10] D. C. Marcano, D. V Kosynkin, J. M. Berlin, A. Sinitskii, Z. Sun, A. Slesarev, L. B. Alemany, W. Lu, and J. M. Tour, “Improved Synthesis of Graphene Oxide”, vol. 4, no. 8.
- [11] Feijani AE, Mahdavi H, Tavassoli A. Synthesis and gas permselectivity of CuBTCeGOePVDF mixed matrix membranes. *New J Chem* 2018;42:12013.
- [12] C. Petit, B. Mendoza, and T. J. Bandosz, “Hydrogen Sulfide Adsorption on MOFs and MOF / Graphite Oxide Composites”, vol. 10031, 2010, pp. 3678–3684
- [13] C. Petit and T. J. Bandosz, “Synthesis , Characterization , and Ammonia Adsorption Properties of Mesoporous Metal – Organic Framework ( MIL ( Fe ))– Graphite Oxide Composites : Exploring the Limits of Materials Fabrication”, 2011, pp. 2108–2117.
- [14] C. Petit, B. Levasseur, B. Mendoza, and T. J. Bandosz, “Microporous and Mesoporous Materials Reactive adsorption of acidic gases on MOF / graphite oxide composites”, *Microporous Mesoporous Mater.*, vol. 154, 2012, pp. 107–112.



- [15] G. Editor, R. E. Morris, F. M. Hinterholzinger, S. Wuttke, P. Roy, T. Preuße, A. Schaate, P. Behrens, A. Godt, T. Bein, V. J. Richards, S. P. Argent, A. Kewley, A. J. Blake, W. Lewis, N. R. Champness, W. L. Queen, E. D. Bloch, C. M. Brown, M. R. Hudson, J. A. Mason, J. Murray, A. J. Ramirez-cuesta, V. K. Peterson, and J. R. Long, “Coordination chemistry in the solid state frameworks Exploring the coordination chemistry of MOF –graphite oxide composites and”, vol. 41, no. 14.
- [16] D. Cai and M. Song, “Preparation of fully exfoliated graphite oxide nanoplatelets in organic solvents”, 2007, pp. 3678–3680.
- [17] B. C. Petit and T. J. Bandosz, “COMMUNICATION MOF – Graphite Oxide Composites : Combining the Uniqueness of Graphene Layers and Metal – Organic Frameworks”, 2009, pp. 4753–4757.
- [18] M. Saxena, S. Sharma, and A. Bhattacharya, “Recycling of Polysulfone : Study Properties of Membranes”, 2015, pp. 39–46.
- [19] E. V. Perez, K. J. Balkus, J. P. Ferraris, and I. H. Musselman, “Mixed-matrix membranes containing MOF-5 for gas separations”, J. Memb. Sci., vol. 328, no. 1–2, 2009, pp. 165–173, Feb.